松材线虫个体发育研究

叶为民" 冯志新 (线虫研究室)

摘要 松材线虫病在广东深圳发生严重、25℃, 松材线虫从产卵到二龄幼虫孵化的胚胎发育为 30 h, 在盘多毛孢菌上培养, 从二龄幼虫发育到二龄幼虫需要 5 天, 幼虫通过 4 次脱皮发育到成虫, 第1次在卵内, 详细描述了胚胎发育和胚后发育各阶段的过程和形态变化。松材线虫各龄期的区分以热杀时虫体形态、体长作为依据, 二龄幼虫、三龄幼虫、雄虫分别为"L"、"I"、"J" 等, 四龄幼虫和雌虫为开阔 "C" 形, 但雌虫生殖器官发育成熟。二龄、三龄、四龄、雄虫的体长分界值依次为 359.4 μm, 444.9 μm、574.5 μm。观察生殖腺位置、结构和发育程度也是重要依据。

关键词 松材线虫; 胚胎发育; 生活史; 分龄

松材线虫病是松树特大的毁灭性病害,目前在日本、美国、加拿大和我国局部地区发生。关于松材线虫(Brarsaphelenchus zyphilus (Steiner & Buhrer, 1934) Nickle, 1970) 的个体发育,国内至今尚无报道,为此我们从深圳枯死马尾松 (Pinus mussoniana) 内分离的松材线虫,进行了胚胎发育、生活史和分龄的研究,以期为此病的防治提供一定的理论依据。

1 材料与方法

松材线虫于 1988 年 8 月采自深圳莲塘的马尾松内, 经 0.1% HgCl₂ 消毒 5 min 后, 在盘 多毛孢菌 (Pestalotia sp.) 上 25℃培养。

胚胎发育:将产卵雌虫吸入凹玻片的水滴中产卵,产卵后立即将单胞卵转到另一凹玻片的生理盐水中,25 C 恒温保湿培养。在双目显微镜下,连续观察卵的胚胎发育过程。

胚后发育: 将盘多毛孢菌接种到直径为 6 cm 培养皿的 PDA 上,1 星期长满菌丝后,每皿接 500 条二龄幼虫,25 C培养。每隔 24 b 分离线虫,热杀后用 TAF 固定,在双目显微镜下观察、测量、描述线虫的发育。

2

2 结果

2.1 胚胎发育

据我们观察(如图 1), 刚产的卵为单细胞,长椭圆形,大小平均为 56.0 μ m×23.1 μ m (长 46.8~61.1 μ m,宽 19.5~26.0 μ m, n=50)。外有一光滑、薄而透明的卵壳,下紧贴一层更薄的卵黄膜,膜内原生质稠密,有很多球状颗粒体。

第 1 次卵裂发生在产卵后约 1 h, 进行不均等的分裂而形成较大的 Pi 细胞和较小的 Si

 现在深圳动植物检疫局中心检验室工作 1992~10~15 收稿 细胞。10 min 后,P₁ 细胞逐渐伸向 S₁ 细胞,而使两细胞一端交互重叠排列。随后可见 P₁ 细胞中间出现隔膜而形成 P₂ 和 EMST 子细胞,EMST 细胞逐渐与 P₂ 细胞分离向 S₁ 端移动,形成三胞阶段。被挤压的 S₁ 细胞也向 P₁ 细胞方向生长,并出现隔膜形成 A 和 B 子细胞,A 细胞逐渐与 B 细胞分离向 P₂ 靠近,形成明显的十字形四细胞阶段,从三胞到四胞仅需要 10 min。随后细胞继续分裂为 5 胞、6 胞、7 胞、8 胞,各胞分裂盛期均可见较大的细胞核,从 2 胞到 8 胞需要 1.5 h。此后,因较多的细胞交替快速分裂,进一步卵裂是难以追踪的,直至发育为多胞的桑椹期卵。

随着细胞的不断分裂,卵内外围排列着一层较小的细胞,包围着中间的大细胞群,此时已进入囊胚期,这标志着细胞分化的开始,小细胞为外胚层,大细胞为内胚层,从 2 胞到囊胚期需要 6~7 h。囊胚期后,胚胎进入原肠期,此时细胞数目更多,难以辩别出原肠的结构。

原肠期末,卵两边出现快慢不等的细胞分裂,分裂较快的一边,细胞小,颜色深,另一边则细胞大而透明。从卵的发育进程看,透明的部分将来发育为唇区及食道,而色深的部分发育为虫体尾部。

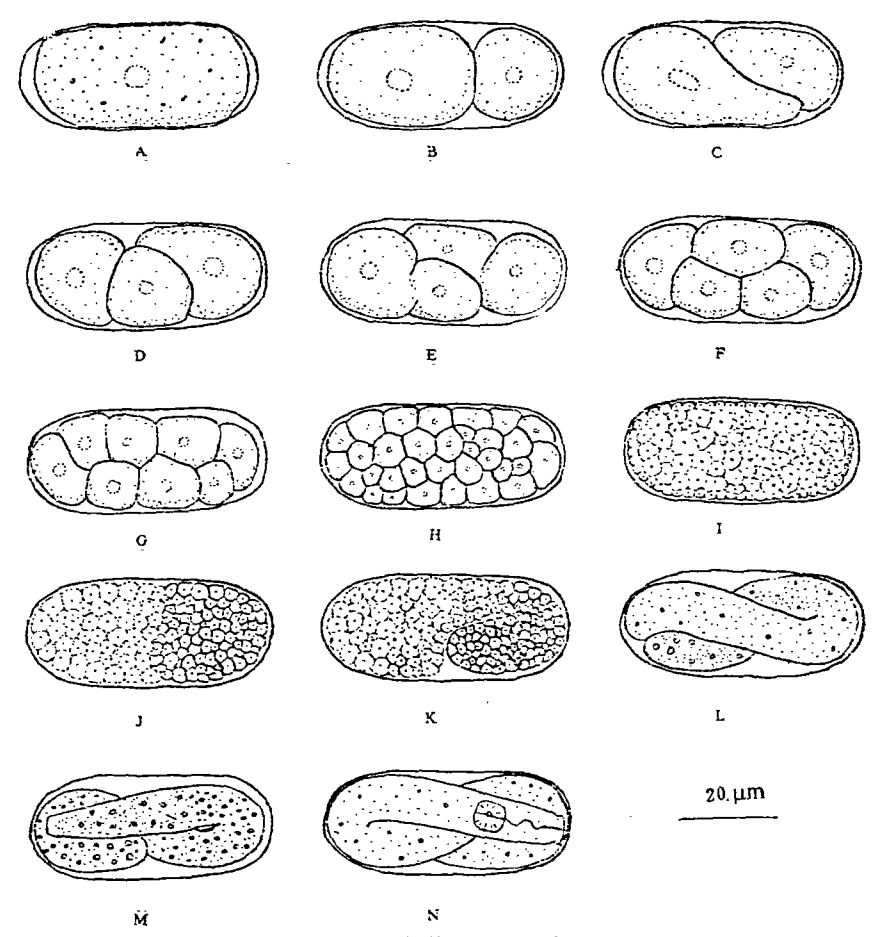


图 1 松材线虫胚胎发育简图

- A: 单胞 B: 双胞 C: 双胞后期 D: 三胞 E: 四胞 F: 五胞
- G: 八胞 H: 桑椹期 1: 囊胚期 J: 原肠期末 K: 蝌蚪期
- L: 蠕虫期 M: 一龄幼虫期 N: 二龄幼虫期

八细胞后 6~8 h, 卵 1/3 处一侧, 胚向内凹陷, 这是蝌蚪期的开始, 凹陷部分不断延长, 可辩认出尾的形状。1.5 h 后达到卵端, 成为二折的结构。此时, 尾端已开始轻微、间歇的摆动、收缩, 胚胎进入蠕虫期, 胚胎在蠕虫期, 虫体蠕动加快, 变细、伸长, 达到三折, 二折后约 3 h, 进入四折状态的一龄幼虫。一龄幼虫前端圆形突出, 无角质化的唇区及缢缩, 口针和中食道球尚未分化, 体内充满球状颗粒, 角质膜很薄。

蠕虫期后 4 h,一龄幼虫活动减少,角质膜变得松驰,线虫进行第 1 次脱皮,形成二龄幼虫。二龄幼虫已开始器官分化,角质膜加厚,形成有较小缢缩、角质化的唇区,口针强,基部球明显,中食道球发达,瓣膜清楚,食道管弯曲,肠是空的、透明,尾钝圆。二龄幼虫在卵壳内不断蠕动、扭曲、翻转,并不时用唇区挤压卵两端,以致与唇部接触的卵壳随之突起,卵形改变,试图冲破卵壳。整个过程口针并不伸出,约经 3~4 h 的冲击后,线虫唇区冲破卵壳的一端,在水中自由蠕动。从刚产下的单胞卵到二龄幼虫孵化约需 30 h。

2.2 胚后发育

根据我们的试验,松材线虫二龄幼虫孵化后,经3次脱皮发育为成虫。从二龄幼虫到二龄幼虫完成一代需要5天时间,其中四龄幼虫发育时间较长,约2天;成虫形成后1天之内即可产卵,以后世代重叠。二龄幼虫接种在真菌培养基后,发育很快。接种后1天,就有30%的二龄幼虫发育成三龄幼虫,第2天出现四龄幼虫,占35%,三龄幼虫占60%,第3天四龄幼虫多达95%,5%为三龄幼虫,第4天出现成虫,占33%,并已产卵,其余均为四龄幼虫,第5天又重新出现二龄幼虫,此后线虫世代重叠明显。

测量刚孵化的二龄幼虫(n=15), $L=214.1\pm2.48\,\mu m$ ($189.8\sim223.6\,\mu m$), $st=10.0\pm0.36\,\mu m$ ($5.2\sim10.4\,\mu m$), $a=20.3\pm0.33$ ($17.0\sim21.5$), $b=5.1\pm0.05$ ($4.7\sim5.4$), $c=17.0\pm0.55$ ($12.8\sim21.0$)。二龄幼虫热杀时呈 "L" 形。此时虫体,颜色很淡,肠内空而透明。唇区低平,稍缢缩,口针强,基部球明显;中食道球发达,大于体宽的 2/3,瓣膜清楚,食道管弯曲,食道腺难以分辨,尾钝圆,未见尾尖突;生殖原基尚未分化。随着线虫的取食活动,在肠内充满颗粒状营养物,体色变深,至二龄脱皮时,除口针变化较小外,体长、体宽、虫体前端至食道肠交接处之长、尾长都有极为显著的增长(表 1),增加幅度分别为 $145.3\,\mu m$ 、 $3.6\,\mu m$ 、 $16.6\,\mu m$ 、 $5.9\,\mu m$,在整个幼虫发育阶段是增长最快的时期。此时,生殖原基仍未分化,有时在线虫脱皮时,可见有单胞的生殖原基形成。

二龄幼虫持续1天后,进行第2次脱皮成三龄。三龄幼虫热杀时呈"I"形或稍向腹面弯曲,其它形态与二龄相似。至三龄脱皮时,体长已增长444.9 μm,比幼虫刚孵化时增长一倍多,其它测量值与二龄脱皮时相比,增加不大,表明三龄幼虫在胚后发育阶段是生长最慢的时期。在这一龄期生殖系统已开始分化,在虫体中后部58.3%(49.1%~71.5%)近腹面处,有一单细胞,卵圆形生殖原基,长为18.9 μm (10.4~26.0 μm)。

三龄幼虫持续1天后,脱皮为四龄。四龄幼虫热杀死后,虫体向腹面弯曲,呈开阔 "C"形。此时是线虫生长的高峰期,身体增长迅速,体长,口针长、体宽、虫体前端至食 道肠交接处之长、尾长分别为三龄脱皮幼虫增加129.6 μm,1.5 μm、1.7 μm、8.6 μm、5.0 μm。唇区更高,缢缩明显;中食道球膨大,几乎充满体腔。生殖腺迅速向前、后伸长,其前端达到虫体53.6%(38.5~63.6%),长度为92.1 μm(52~104 μm)。四龄后期性分化 明显。雌幼虫在虫体75.1%(73.1%~77.3%)处呈现阴道结构,雄幼虫在脱皮中,交合刺逐渐形成。四龄幼虫发育时间较长,2 天后脱皮为成虫。

成虫形成后,1天之内开始交配、产卵,此后,虫体仍会继续生长,由于所测线虫发育

天数不同,因而各项测量值变幅较大(表1)。雌虫热杀死时,虫体向腹面弯曲,呈开阔 "C"形。生殖系统发育完全,生殖腺前端已延伸到虫体 25.4% (17.5%~35.2%)处,长 度为 479.9 μm (419.7~562.7 μm), 卵母细胞单行排列,子宫内可见卵,后阴子宫囊内常 有球状精子,有阴门盖,并自阴门后虫体变细。雄虫热杀死时呈"J"形。生殖腺系统发育 完全, 生殖前端位于虫体 41.0% (25.7%~44.1%) 处, 长为 344.6 μm (273.0~427.4 μm),精巢前伸,偶尔前端转折,输精管内有球状精子,并形成交合刺和抱片,尾尖形。

关于幼虫脱皮,二龄、三龄、四龄的过程十分相似。脱皮时,虫体蠕动减少,放松伸 直,经过1~2h的静止之后,口针消失,唇区向后收缩,逐渐与角质膜分离。随着虫体的 不断收缩,前端、后端角质膜明显向外突出。脱皮末期,角质膜断裂,与虫体分离,形成 了新的角质膜及口针、唇区骨架、排泄管、直肠,脱下的角质膜上保留着上一龄幼虫的这 些结构。 四龄幼虫脱皮时,出现了生殖器官的分化。 雌幼虫在虫体 75.2% 处呈现阴道的结 构,脱皮之后形成阴门盖,尾圆筒形,末端宽圆。雄幼虫脱皮时,在肛门处形成交合刺,尾 由圆筒形变为圆锥形。

据我们的观察,松材线虫不同龄期可以根据、热杀死时虫体形态,体长,生殖腺位置、 长度和结构加以区别。热杀时,二龄幼虫、三龄幼虫、雄虫分别呈 "L"、"I"、"J" 形,四 龄幼虫和雌虫同为开阔 "C"形(图 2)。我们测量了大量不同发育时期的线虫,结果表明; 各脱皮状态幼虫体长平均值,可作为分龄标准。表2显示:二龄、三龄、四龄幼虫及雌虫 的平均体长士标准差恰好完全分开,没有交叠,而且各龄脱皮幼虫体长平均值,正位于相 邻龄期的体长交界点上。虽雄虫体长与四龄幼虫、四龄脱皮幼虫、雌虫体长值交叠,因有 明显的交合刺,而正确把它区别开来。各龄期还有少数线虫,其体长超出平均体长士标准 差范围,则应结合热杀死时虫体形态、生殖腺加以判断。二龄幼虫常无生殖腺,三龄幼虫 生殖腺单细胞,椭圆形,四龄幼虫生殖腺较长,成虫生殖系统发育完全,并有外生殖器。

讨论和结论 3

个体发育结果表明:松材线虫与其它许 多植物线虫表现出大致相同的模式[1.8],整个 发育期间有 4 次脱皮, 第 1 次在卵内完成。

松材线虫在盘多毛孢菌上,25℃从二龄 幼虫发育到二龄幼虫需要5天,这一时期正 是线虫生殖系统迅速生长和分化的阶段,从 产卵到孵化的胚胎发育为 30 h,与 Mamiya[5] 报道在灰葡萄孢菌(Botrytis cinerca)上的结论 一致。

松材线虫第1次卵裂,形成大小不等的 两个分裂球,与 Seimra temicandata (de Man) J. B. Goodey, 1960 等[2.4]一致, 第 2, 3 次卵裂 方向,与卵长轴成一定角度,使四胞阶段的 细胞成十字型交叉排列,这种方式仅与 幼虫开阔"C"形 D:雄虫"J"形 E:雖虫开阔"C"形 Meloidogyme nassi Franklin, 1965[7]相同,而其它

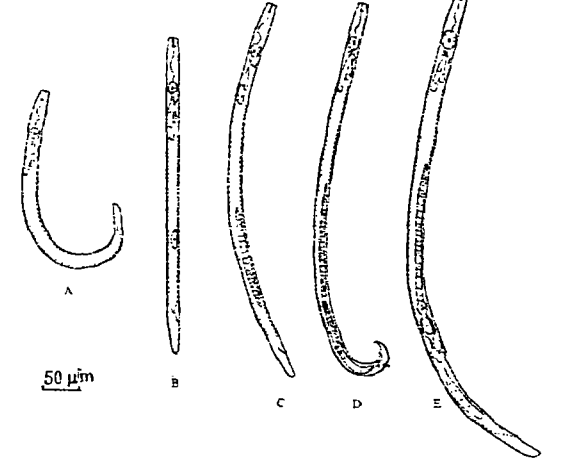


图 2 松材线虫热杀死虫体形态 A:二龄幼虫"L"形 B:三龄幼虫"I"形 C:四龄

植物寄生线虫卵四胞阶段的细胞成串排列[1.2]。松材线虫的孵化,靠虫体不停蠕动,用唇区

表 1 松村线虫胚后发育各龄线虫测量值

医毒项目	L(µm)	st(µm)	•	م	v	(%)	SP(µm)	n(条)
二數位虫	292.5±5.61 *	10.5±0.08	22.6±0.25	5.8±0.08	17.7±0.21			100
	(187.2~358.8) * *	$(10.4 \sim 13.0)$	$(18.2\sim29.5)$	(4.3~7.7)	$(13.0\sim22.2)$			
二餘脱灰幼虫	359. 4±6. 46	10.6 \pm 0.22	25.9 \pm 1.19	6.2 \pm 0.19	19.6±0.75			13
	$(332.8\sim371.8)$	$(10.4 \sim 13.0)$	$(19.3 \sim 32.8)$	$(5.1 \sim 7.1)$	$(14.6 \sim 23.7)$			
三零给虫	399. 1±3. 90	11.2±0.14	27.6 ± 0.39	6.8 ±0.08	19.2±0.38			95
	$(343.2\sim475.8)$	$(10.4 \sim 15.6)$	$(22.2 \sim 35.2)$	$(5.6 \sim 8.0)$	$(14.0\sim26.5)$			
三龄脱皮幼虫	444.9±9.36	10.4±0	27.9 ± 0.76	7.5±0.16	21.2±0.63			10
	$(390.0 \sim 488.8)$	$(0 \sim 10.4)$	$(23.0\sim32.8)$	$(6.7 \sim 8.2)$	$(18.6 \sim 23.4)$			
日歌台田	512.8±6.16	13. 1 ± 0.15	31.6±0.35	8. 0 ± 0 . 08	22.7 ± 0.28	75. 1 ± 0.43		115
	(413, 4~634.4)	$(10.4 \sim 15.6)$	$(23.3 \sim 39.3)$	$(6.6 \sim 9.7)$	$(18.5\sim27.3)$	$(73.1 \sim 77.3)$		互影構虫 n=11
四數院皮幼虫	574.5 ± 10.94	13.7 \pm 0.26	32. 4 ± 1.56	8.5±0.19	23.2 \pm 0.55	75. 2 ± 0.52		22
	$(499.2 \sim 655.2)$	$(0 \sim 15.6)$	$(23.4\sim40.6)$	$(7.0 \sim 10.6)$	$(18.9\sim28.0)$	$(73.0 \sim 80.3)$		四种脱皮槽虫 n=15
ਜ ਵ	663.2 ± 10.84	14.2 ± 0.19	35. 1 ± 0.41	10.0±0.16	26.0±0.40	74.1 ± 0.56		09
	$(501.8 \sim 852.8)$	$(10.4\sim15.6)$	$(30.9 \sim 39.5)$	(8.4~11.8)	$(21.6\sim31.6)$	$(68.8 \sim 82.4)$		
母	603.5±11.40	13.7 \pm 0.21	35.7 ± 0.62	9.3±0.14	20.8 \pm 0.31		25. 5 ± 0.27	09
	$(488.8 \sim 842.4)$	$(10.4\sim15.6)$	$(26.9 \sim 45.3)$	$(8.2\sim10.9)$	$(17.2\sim25.5)$		$(20.8 \sim 31.2)$	

ฮ
來
쓮
氢
34
Ð,
#
2
*
2
*

**:极小值~极大值

平均数土标准设

发育时期				#	存 木 (Jum)	(mm)	ı) }	极小值~极大值
二數幼虫 *	236.4	292. 5	348.6						<u> </u> }	187. 2~358.8
二龄脱皮幼虫*	*		359. 4							332.8~371.8
三數约虫			361.1	399. 1	437.1					343. 2~475. 8
三龄脱皮幼虫					444.9					390.0~488.8
四數幼虫					446.7	512.8	578.3			413.4~634.4
四齡脱皮幼虫							574.5			499.2~655.2
哲							579.2	663. 2	747.2	747.2 501.2~852.2
田			!				515.2	603.5	691.8	603.5 691.8 488.8~842.4

^{*:3}个数据依次为平均体长一标准置,平均体长,平均体长十标准置。

**:1个数据为既庆史体平均体长

挤破卵壳一端而出来,整个过程未见口针穿刺。

同形线虫各龄期的区分,过去曾以体长、生殖腺结构和发育程度^{6]}、侧线数目^[3]、排泄孔位置^[8]等为依据,因此在鉴别上常常是比较困难的。我们试用了以热杀死时虫体形态及体长来区分松材线虫各个龄期,简便、直观而准确,二龄幼虫、三龄幼虫、雄虫分别为"L"、"I"、"J"形,四龄幼虫和雌虫为开阔"C"形,但雌虫生殖器官发育成熟。二龄、三龄、四龄幼虫、雄虫的体长分界值依次为359.4 µm,444.9 µm,574.5 µm。由于线虫的发育是一个连续的过程,各龄期线虫的体长还有变化,观察其生殖腺位置、结构和发育程度也是重要依据。

参考 文献

- 1 Clark S A. The development and life history of the false root-knot nematode, *Nacobbus serendiptiticus*. Nematologica, 1967, 13: 91~101
- 2 Fassuliotis G. Feeding. embryology of the Columbia lance nematode, Hoplolaimus columbus. J Nematol. 1975, 7 (2): 152~158
- 3 Hechler H C. The development of Aphelenchus avenae Bastian, 1965 in fungus culture. Proc Helminth Soc Wash, 1962. 29 (2): 162~167
- 4 Hechler H C. Description. developmental biology. and feeding habits of Seimara temicondata (De Man) J. B. Goodey. 1960 (Nematoda: Aphelenchoididae). a nematode predator. Proc Helminth Soc Wash, 1963, 30 (2): 182~195
- 5 Mamiya Y. The life history of the pine wood nematode. Bursaphelenchus lignicolus. Jpn J Nematol. 1975, 5: 16 ~25
- 6 Perry R R. Separation of stages of Ditylenchus dipsoci and D. myceliophagus by body length. Nematologica, 1976, 22 (4): 446~450
- 7 Siddiqui I A. & Taylor D P. The biology of Meloidogyne nausi. Nematologica, 1970, 16: 133~143
- 8 Zuckerman B M. & Strich-Harari D. The life stages of Helicotylenchus multicinctus in banana roots. Nematologica. 1963, 9: 347~353

EMBRYOLOGY AND LIFE HISTORY STUDIES ON PINE WOOD NEMATODE, BURSAPHELENCHUS XYLOPHILUS

Ye Weimin Feng Zhixin
(Lab. of Nematology)

Abstract The destructive Pine Wilt Disease was found occurring in Shenzhen. China. Studies on the developmental stages of Bursaphelenchus xylophilus indicate that the life cycle was completed from egg to egg in 5 days on Pestalotia Spat 25° C. through four molts, the first of which occurred within the egg. The average time required from egg-laying to hatching was 30 hours in water at 25° C.

Using the shape of heat-killed nematode as the initial guide to the identification of the different stages of *B. xylophibus*, a relationship between stage and body length, genigal primordia has been established; this enabled individuals to be allocated to their stage with relative ease.

Morphology, embryonic and post-embryonic development, the egg and larval stages are described and figured.

Key words Bursaphelenchus xylophilus; Embryology; Life cycle; Seperation of stages

Present address: Shenzhen Animal & Plant Quarantine Bureau, 40 Heping Road, Shenzhen 518001, P. R.
 China